

4. Лапшенков В.С. Прогнозирование русовых деформаций в бьефах речных гидроузлов. - Л.: Гидрометеоиздат, 1979. - с.
5. Абрамович Г.Н. Теория турбулентных струй. - М.: Физматгиз, 1960. - 716 с.
6. Исмагилов Х.А. Исследование водовыпусков из селехранилищ. - Сб. "Проблемы противоселевых мероприятий".

М.М.Кучкаров, А.А.Шереметовский  
(САНИИРИ им. В.Д.Журина)

### НЕКОТОРЫЕ РЕЗУЛЬТАТЫ ИССЛЕДОВАНИЙ ПО ОПРЕДЕЛЕНИЮ РАСХОДА ВЛЕКОМЫХ НАНОСОВ В СРЕДНЕМ ТЕЧЕНИИ р. АМУДАРЬИ

В настоящее время в среднем течении Амударьи широко распространен бесплотинный водозабор.

В условиях Амударьи, несущей большое количество взвешенных и донных (влекомых) наносов, для поддержания пропускной способности водозаборных каналов бесплотинный водозабор требует ежегодного выполнения на головных участках каналов больших объемов очистных работ.

Объемы очистных работ определяются оперативно, исходя из объемов отложений, устанавливаемых ежемесячно на основе специальных промеров залленных участков водозаборных каналов. Поэтому при планировании очистных работ их объемы определяются ориентировочно по опыту прошлых лет, а расстановка применяемых для очистки земснарядов по длине водозаборных каналов не планируется.

Определенную ясность в вопросах планирования объемов очистки и правильной расстановки земснарядов могли бы внести специальные расчеты ожидаемого поступления наносов и их осаждения по длине водозаборных каналов, выполняемые балансовым методом.

Однако серьезным препятствием для составления таких расчетов являются трудности учета завлечения в водозаборные каналы влекомых речных наносов.

В настоящее время сток влекомых наносов Амударьи в основном определяют исходя из некоторого процента от стока взвешенных. При этом рекомендуется широкий диапазон значений этого процента: А.Г. Хачатрян [1] - 10% (по измерениям в голове Ташсакинского канала); Г.И.Шамов [2] - 5%, Р.Р.Абдураупов [3] - 10...15% и даже до 25%. В.Е.Тузов [4]-от 18,4 до 54% (в руслах Вахша и Амударьи).

Отсюда и результаты расчета стока влекомых наносов Амударьи весьма различны.

Непосредственное измерение расхода донных наносов в натурных условиях весьма затруднено из-за отсутствия надежных для условий Амударьи приборов и методики.

Исходя из сказанного, нами для конкретных условий участка Амударьи в районе бесплотинного водозабора Амубухарского канала был определен расход донных наносов методом натурных измерений скорости перемещения и размеров донных песчаных гряд.

Скорость движения донных гряд определялась путем сравнения продольных профилей дна по продольным створам, полученных с помощью эхолотов "Кубань" и "ИРИЭЛ" через определенные промежутки времени.

Первые две серии эхолотирования дна были произведены по 10-ти продольным створам, с засечками через 15 поперечных створов при интервале времени между проходами эхолота 24 ч. Расход реки при этом составлял  $1320 \text{ м}^3/\text{с}$ .

Обработка эхограмм показала, что интервал в 24 ч слишком велик, а скорость движения гряд и их размеры сильно искажены за счет деформации гряд. Поэтому в дальнейшем эхолотирование дна производилось всего по трем продольным створам, но с интервалом времени от двух до шести часов.

Одновременно с эхолотированием замерялись глубины и скорости течения воды вертужкой, а взятие проб взвешенных наносов на вертикалях производилось пятиточечным способом в начале и в конце эхолотируемого продольного створа.

За период с 28/УП по 29/УШ-1982 г. было произведено 106 измерений дна.

На основе обработки полученных эхограмм определялись высота и длина гряд, а также глубина воды над их гребнем и подошвой.

Сравнивая положение гребней гряд на каждом двух эхограммах, снятых на одном и том же продольном створе, находили их смещение за интервал времени между эхолотированиями, исходя из которых вычисляли скорость движения гряд.

Некоторые значения скорости, полученные таким образом, приведены в табл. I. Здесь же даны значения скоростей движения гряд, вычисленные по формуле Снищенко-Копалиани [5]:

$$C_r = 0,019 U F_r^{2.9}, \quad (I)$$

где  $U$  - средняя по глубине скорость над гребнем гряды;

Таблица I

Изменение скорости движения гряд на участке  
исследований

| Дата измере-<br>ния | Расход воды:<br>:(Q), м <sup>3</sup> /с | Скорость движения гряд :измеренная по<br>:(C <sub>r</sub> ), см/с | Процент отк-<br>лонения от<br>:определенной по<br>Ф-ле Снищенко-<br>:Копалиани | $\Delta \%$ = $\frac{C_{\text{рас}} - C_{\text{изм}}}{C_{\text{изм}}} \cdot 100\%$ |
|---------------------|---|---|--|--|
| 29.07.82            | I965                                    | 0,0350<br>0,0263<br>0,0624  | 0,0987<br>0,0497<br>0,0956   | I82<br>89<br>53  |
| 2.08.82             | I410                                    | 0,0206  | 0,0438   | II2  |
| 3.08.82             | I342                                    | 0,0484<br>0,0323<br>0,0420  | 0,0495<br>0,0414<br>0,0414   | 2<br>28<br>-2  |
| 5.08.82             | I667                                    | 0,0359  | 0,0406   | I3   |
| 6.08.82             | I875                                    | 0,0279  | 0,0170   | 39   |
| 10.08.82            | I875                                    | 0,0260  | 0,0429   | 65   |
| 11.08.82            | I995                                    | 0,0298  | 0,0370   | 24   |
| 12.08.82            | 2055                                    | 0,0286  | 0,0364   | 27   |
| 13.08.82            | I995                                    | 0,0510  | 0,0633   | 24   |
| 19.08.82            | I875                                    | 0,0760<br>0,0730<br>0,0840<br>0,0700                              | 0,0810<br>0,0853<br>0,0930<br>0,0600   | 7<br>I7<br>II<br>-I4   |
| 23.08.82            | I410                                    | 0,0240<br>0,0300  | 0,0380<br>0,0330   | 58<br>IO   |
| 25.08.82            | I287                                    | 0,0410<br>0,0300<br>0,0340<br>0,0260<br>0,0410                    | 0,0455<br>0,0290<br>0,0298<br>0,0310<br>0,0359                                 | II<br>-3<br>-I2<br>I9<br>-I2   |

## Продолжение табл. I

| Дата измере-<br>ния | Расход воды: <u>Скорость движения гряд</u><br>:( $Q$ ), м <sup>3</sup> /с :измеренная<br>:( $C_g$ ), см/с :определенная<br>по ф-ле Сни-<br>щенко-Копалина-<br>и ид | Процент отка-<br>дения от изме-<br>ренной<br>$\Delta\% = \frac{C_{граe} - C_{гпч}}{C_{гпч}} \cdot 100\%$ |
|---------------------|--|--|
|                     |  |  |
| 26.08.82            | I259   | 0,0296   |
|                     |  | 0,0222   |
|                     |  | 0,0370   |
| 27.08.82            | II83   | 0,0252   |
|                     |  | 0,0323   |
|                     |  | 0,0293   |
| 29.08.82            | 937  | 0,0237   |
|                     |  | 0,0197   |
|                     |  | 0,0237   |
|                     |  | 0,0151   |
|                     |  | 0,0154   |
| 30.08.82            | 897  | 0,0205   |
|                     |  | 0,0281   |
|                     |  | 0,0256   |
| 31.08.82            | 814  | 0,0185   |
|                     |  | 0,0185   |
|                     |  | 0,0344   |
| Среднее<br>значение |  | 0,0407   |
|                     |  | 18   |

$F_z$  - число Фруда; определяется исходя из скорости  $U$  и глубины воды над гребнем гряды.

Как следует из табл. I, значения скорости движения гряд, вычисленные по формуле (I), в основном превышают натурные (в отдельных случаях до 1,5...2,8 раза). В среднем это превышение составляет 18%, что позволяет рекомендовать формулу (I) для ориентировочных расчетов в условиях среднего течения Амударьи.

Для определения элементарного расхода донных наносов при грядовом движении Б.Ф.Снищенко, умножая скорость движения гряды  $C_g$  (формула (I)) на высоту гряды  $h_g$  и коэффициент полноты профиля гряд, принимаемый  $B = 0,6$ , рекомендует формулу

$$q_g = 0,011 U h_g F_z^{2,9} \quad (2)$$

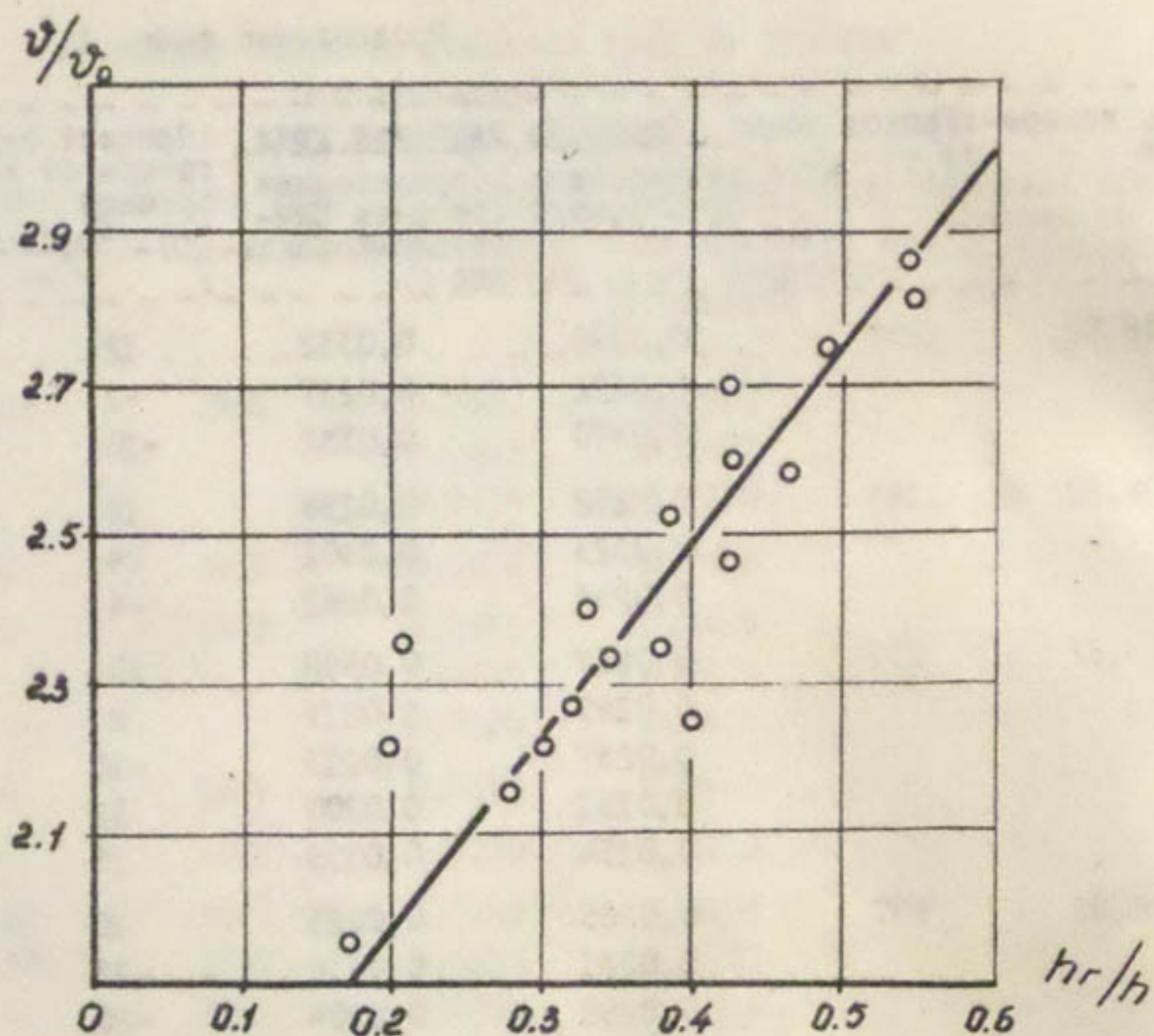


График зависимости относительной скорости от относительной высоты гряд  $\frac{U}{U_0} = f\left(\frac{h_r}{h}\right)$ .

Формула (2) для практических расчетов требует данных о высоте гряд, средней скорости по глубине и о глубине воды над гребнем гряды, определение которых в натурных условиях очень трудоемко. На основе данных натурных измерений САНИИРИ нами выведена формула для определения высоты гряды

$$h_r = 0,385h \left( \frac{U}{U_0} - 1,45 \right) , \quad (3)$$

где  $h$  — глубина воды;

$U$  — средняя скорость течения над гребнем;

$U_0$  — неразмывающая скорость.

Формула (3) основана на натурных данных и графической зависимости относительной скорости течения  $\frac{U}{U_0}$  от относительной высоты гряд  $\frac{h_r}{h}$ ,  $\frac{U}{U_0} = f\left(\frac{h_r}{h}\right)$  (рисунок). Зависимость описывается уравнением

$$\frac{U}{U_0} = 1,45 + 2,6 \frac{h_r}{h} . \quad (4)$$

Отметим, что формулы (3) и (4) применимы лишь при условии  $\frac{U}{U_0} > 1,45$ .

Принимая для определения  $U_0$  формулу Б.И.Студеничникова и учитывая, что средний диаметр донных наносов на участке проводившихся исследований составляет  $d = 0,22$  мм, формулу (3) для этого участка можно привести к выражению

$$h_r = 0,385h(U - 0,11h^{0,25}). \quad (5)$$

Для определения расхода донных наносов предлагается следующая формула:

$$\psi = q_t \cdot K \cdot B, \quad (6)$$

где  $q_t$  — элементарный расход донных наносов;

$K$  — коэффициент части  $B$ , занимаемой зоной грядового движения;

$B$  — ширина по урезу воды;  $B = \frac{Q}{H \cdot U}$ .

$$\psi = q_t \cdot K \cdot \frac{Q}{H \cdot U} = 0,011K \frac{U \cdot h_r \cdot F_r^{2,9}}{H \cdot U} \cdot Q = 0,011KQ \cdot F_r^{2,9} \cdot \frac{h_r}{H}, \quad (7)$$

при  $h_r = 0,385H(U - 0,11H^{0,25})$

$$\psi = 0,011KQF_r^{2,9} \cdot 0,385(U - 0,11H^{0,25}) = 0,00423KQ \cdot F_r^{2,9}(\sqrt{F_r}H - 0,11H^{0,25}). \quad (8)$$

Коэффициент "К" из формулы (8) определяется путем измерений и зависит от гидрографа реки, изменяется в широких пределах — 0,5...0,9.

Результаты вычислений расхода влекомых наносов по формулам (5) и (8) на участке исследований, для входа в водозабор АБМК и ниже водозабора приведены в табл. 2 и 3.

Из табл. 3 видно, что значения вычисленных расходов влекомых наносов при грядовом движении для участка исследований изменились от 2,1 до 37% от расхода взвешенных.

Расход влекомых наносов при грядовом движении для створа входа в водозабор АБМК при подъеме паводка (апрель-май) составил от 3,5 до 75%, для паводка (июнь-июль) — от 2,0 до 32,5%, а для спада паводка (август-сентябрь) — от 3,7 до 23,0% от соответствующих взвешенных наносов.

Для створа ниже АБМК расход донных наносов изменился от 2,5 до 21,4% от расхода взвешенных наносов.

Таким образом, широкий диапазон изменения процента расхода влекомых наносов от взвешенных при их грядовом движении указывает на необходимость осторожного подхода к полученным результатам натурных измерений, что требует прежде всего уточнения методики проведения измерений и получаемых на их основе выводов.

Таблица 2

Расходы влекомых и взвешенных наносов при движении гряд на участке исследований

| Дата измерения:  | Расход : воды : $(Q)$ , : $\text{м}^3/\text{с}$ | Высота : гряд : $(h_r)$ , : см | Скорость : гряд : $(C_r)$ , : см/с | Расход наносов, г/с : взвешенных : влекомых : $(Q_{\text{нан.}})$ : $(Q_{\text{влек.}})$ | Процент : влекомых наносов : от взвешенных |
|------------------|---|--------------------------------|------------------------------------|--|--|
| 29.07.82         | I965  | I20                            | 0,0350                             | 3700   | 432  |
|                  |   | 200                            | 0,0263                             | 3400   | 606  |
|                  |   | I80                            | 0,0624                             | 3400   | 1260                                       |
| 2.08.82          | I410  | I60                            | 0,0206                             | 9000   | 330  |
| 3.08.82          | I342  | 90                             | 0,0484                             | 7480   | 489  |
|                  |   | I40                            | 0,0323                             | 7480   | 507  |
| 6.08.82          | I875  | I02                            | 0,0188                             | 8600   | 215  |
|                  |   | 62                             | 0,0282                             | 8600   | 196  |
| 9.08.82          | I710  | 60                             | 0,0179                             | 4720   | I75  |
|                  |   | 65                             | 0,0237                             | 4720   | I53  |
| 10.08.82         | I875  | 60                             | 0,0260                             | 4720   | I75  |
| II.08.82         | I995  | 60                             | 0,0298                             | 5000   | I34  |
| I2.08.82         | 2055  | 70                             | 0,0298                             | 5900   | 225  |
| I3.08.82         | I995  | I10                            | 0,0510                             | I0400  | 629  |
| I9.08.82         | I875  | I80                            | 0,0730                             | 28000  | I474                                       |
|                  |   | 230                            | 0,0840                             | 28000  | 2167                                       |
| 23.08.82         | I410  | I35                            | 0,0240                             | I3700  | 364  |
|                  |   | I60                            | 0,0300                             | I3700  | 539  |
| 25.08.82         | I287  | I35                            | 0,0410                             | I3100  | 621  |
|                  |   | I40                            | 0,0300                             | I3100  | 471  |
| 26.08.82         | I259  | 60                             | 0,0370                             | I2000  | 249  |
|                  |   | I10                            | 0,0370                             | I2000  | 457  |
| 27.08.82         | II83  | I10                            | 0,0252                             | II300  | 320  |
|                  |   | I45                            | 0,0323                             | II300  | 525  |
| Среднее значение | I445  | I20                            | 0,036                              |  | 6,5  |

Т а б л и ц а 3

Расходы влекомых и взвешенных наносов на входе в АБМЖ  
и ниже водозабора

Амударья, ств. I8 (ниже водозабора № 3 АБМК)

|                 |      |      |      |      |         |
|-----------------|------|------|------|------|---------|
| 7.04.82         | 695  | 1750 | 44   | 2,5  | подъем  |
| 15.05.82        | 1660 | 6620 | 1420 | 21,4 | паводка |
| 29.05.82        | 1010 | 3000 | 127  | 4,2  |         |
| 19.06.82        | 1900 | 5280 | 399  | 7,6  | паводок |
| 10.07.82        | 915  | 1420 | 49   | 3,5  |         |
| 25.07.82        | 881  | 1910 | 42   | 2,2  | спад    |
| 6.08.82         | 2030 | 2900 | 175  | 6,0  | паводка |
| 14.08.82        | 1960 | 4270 | 162  | 3,8  |         |
| Среднее по реке |      |      |      |      | 6,4     |

проведения измерений и получаемых на их основе выводов.

Список использованной литературы

- 1.Хачатрян А.Г. Отстойники на оросительных системах. - М.:Сельхозгиз, 1957, с.103.
- 2.Шамов Г.И. "Речные наносы" Л.Гидрометеоиздат, 1959, с.378.
- 3.Абдураупов Р.Р. Расчет заиления нижнего бьефа низконапорных гидроузлов наносами. - Сб."Вопросы гидротехники", вып.27, Ташкент, Наука АН УзССР, 1965, - с.39-51.
- 4.Тузов В.Е."К вопросу определения расхода донных наносов по объему русловой деформации". Сб.научн.тр./Средаз.НИИ ирригации. - Ташкент: вып.II4, 1968, - с.93-II4.
- 5.Кондратьев Н.Е., Попов И.В., Снищенко Б.Ф. Основы гидрометеорологической теории руслового процесса. - Л.:Гидрометеоиздат, 1982, с.272.

Х.А.Ирмухамедов,  
канд.техн.наук  
М.Р.Бакиев, О.Кадиров

(САНИИРИ им.В.Д.Журина)

### О ГИДРАВЛИКЕ ПОТОКА, СТЕСНЕННОГО СКВОЗНОЙ ШПОРОЙ С ПЕРЕМЕННЫМ КОЭФФИЦИЕНТОМ ЗАСТРОЙКИ

Для регулирования русла Амударьи в районе Каршинского канала проектируются регулировочные сооружения в виде глухих и сквозных дамб. Рассмотрим гидравлику потока у сквозной дамбы с переменным коэффициентом застройки.

Идея строительства сквозных шпор с переменным коэффициентом застройки высказана давно [1], однако в литературе до сих пор нет обоснованных методов расчета подобных сооружений.

Экспериментальные исследования показали эффективность гашения энергии потока этих сооружений по сравнению с обычными сквозными шпорами. Кроме того, уменьшается опасность обхода их с корня благодаря наличию водяной подушки.

Коэффициент застройки, определяемый зависимостью  $P = \frac{d}{d+S}$ , где  $d$ ,  $S$  - соответственно диаметр и шаг элемента, изменяется от головы к основанию шпоры при  $d = \text{const}$ .

Экспериментальные данные эпюр скоростей говорят о возможности использования некоторых положений теории турбулентных струй при